

新日本製鐵(株) 大分技術研究室  
第1技術研究所

○遠藤公一 金子敏行 原田慎三  
鈴木洋夫

## 1. 緒 言

フラックス吹込みによる溶鋼脱硫処理の効率を高めるためには、フラックス組成の最適化が重要である。そこで、タンマン炉を用い、 $\text{CaO}-\text{CaF}_2$  をベースとしたフラックスの脱硫最適組成について検討した。

## 2. 実験方法

Ar気流中で(C):0.05~0.11%、(Al):0.036~0.040%、(Si):0.21%に調整した溶鋼1.2kgにプリメルトフラックス120gを添加して([S])の推移を調べた。温度は1600±5°Cに保った。ルツボには電融マグネシアを使用し、その溶損を防止するためフラックスに約20%のMgOを加えた。実験は低硫域(44~62ppm)、高硫域(220~300 ppm)の2水準で行った。フラックスは $\text{CaO}$ と $\text{CaF}_2$ の割合を変えた $\text{CaO}-\text{CaF}_2-\text{MgO}$ 系であり、高硫域の実験では $\text{SiO}_2$ を添加し $(\% \text{CaO})/(\% \text{SiO}_2) = 3.5$ とした。

## 3. 実験結果および考察

**3.1 初期脱硫速度におよぼす $\text{CaF}_2$ の影響** Fig. 1に([S])推移を示す。初期脱硫速度は添加したフラックスの $(\% \text{CaF}_2)/((\% \text{CaO}) + (\% \text{CaF}_2))$ (以下Fとする)によって変化する。脱硫反応を1次式と見なし得られた見かけの速度定数 $k's$ とFの関係をFig. 2に示す。 $k's$ は高硫域、低硫域共に、 $F = 0.4 \sim 0.6$ で最大となる。

**3.2. S分配におよぼす $\text{CaF}_2$ の影響** Fig. 3に最終フラックス組成から求めたFと到達(S)/[S]の関係を示す。 $(\% \text{MgO}) \leq 45\%$ 、 $(\% \text{Al}_2\text{O}_3) + (\% \text{SiO}_2) \leq 2\%$ の範囲では、到達(S)/[S]は $F = 0.4$ 前後で最大値を示す。

**3.3. S分配におよぼす $\text{Al}_2\text{O}_3$ 、 $\text{SiO}_2$ 、 $\text{MgO}$ の影響**  $\text{Al}_2\text{O}_3$ 、 $\text{SiO}_2$ 、 $\text{MgO}$ の増加にしたがって到達(S)/[S]は低下した。 $\text{MgO}$ は $\text{Al}_2\text{O}_3$ 、 $\text{SiO}_2$ に比べるとその影響が軽微であった。

**3.4.  $\text{CaO}-\text{CaF}_2$ 系フラックスの脱硫最適組成**  $k's$ 、 $(\text{S})/[\text{S}]$ が最大となる $F = 0.4 \sim 0.6$ は、 $\text{CaO}-\text{CaF}_2$  2元系の1600°Cにおける液相線近傍組成である。 $(\text{S})/[\text{S}]$ の結果はKorら<sup>1)</sup>が示したSulfide Capacityが液相線で最大となる報告と一致する。したがって、浴中に吹込む脱硫フラックスとしては、不純物を含まない $\text{CaO}-\text{CaF}_2$  2元系での液相線近傍組成、すなわち $\text{CaO}-40\sim60\%\text{CaF}_2$ が最適と考えられる。

## 4. 結 言

基礎実験により、 $\text{CaO}-\text{CaF}_2-\text{MgO}$ 系フラックスを用いた場合、 $(\% \text{CaF}_2)/((\% \text{CaO}) + (\% \text{CaF}_2)) = 0.4 \sim 0.6$ で、脱硫反応速度および到達(S)/[S]が最大になることを明らかにした。

1) G.J.W. Kor et al. : Trans. Met. Soc. AIME, 245 (1969), P. 319

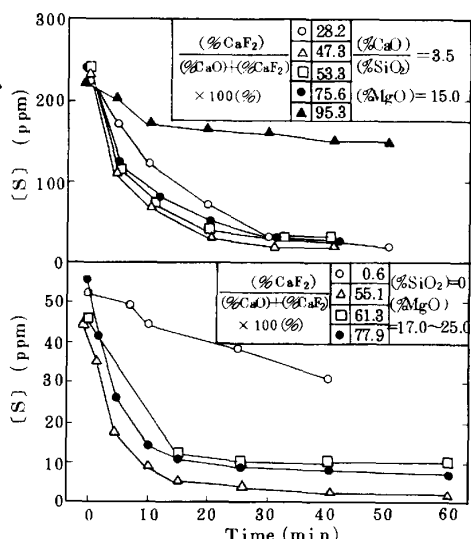


Fig. 1 Effect of initial  $\frac{(\% \text{CaF}_2)}{(\% \text{CaO}) + (\% \text{CaF}_2)}$  on desulfurization rate

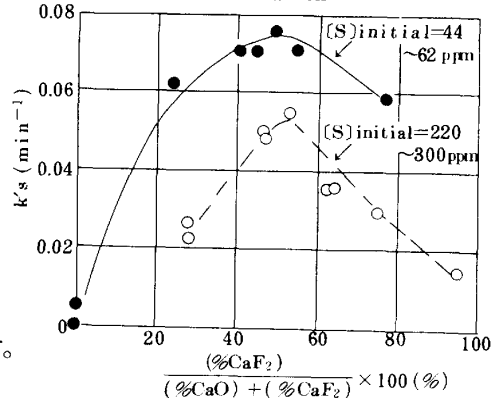


Fig. 2 Effect of initial  $\frac{(\% \text{CaF}_2)}{(\% \text{CaO}) + (\% \text{CaF}_2)}$  on apparent rate constant  $k's$

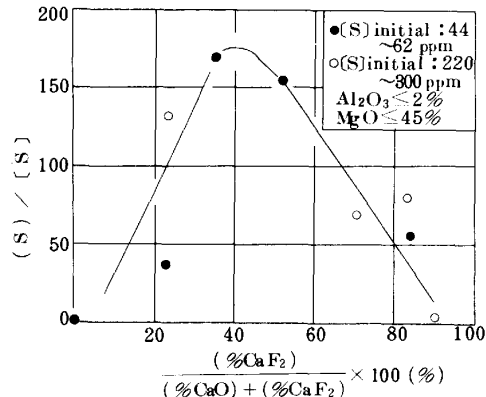


Fig. 3 Effect of final  $\frac{(\% \text{CaF}_2)}{(\% \text{CaO}) + (\% \text{CaF}_2)}$  on final sulfur distribution